

Е.И. БАЙДА, канд. тех. наук, доцент, НТУ "ХПИ"

ВЛИЯНИЕ ТЕМПЕРАТУРЫ НАГРЕВА КОНТАКТНОЙ СИСТЕМЫ ВАКУУМНОГО ВЫКЛЮЧАТЕЛЯ НА СТАТИЧЕСКИЕ НАПРЯЖЕНИЯ В МАТЕРИАЛЕ ВАКУУМНОГО СИЛЬФОНА

В статье рассмотрено влияние температуры нагрева контактной системы на внутренние напряжения в сильфоне вакуумного выключателя методом конечных элементов. Получена зависимость механических напряжений в материале в функции температуры при заданном ходе контактов. Показано, что наибольшие механические нагрузки испытывают места крепления сильфона к контактам и вакуумной камере. Значения механических напряжений в аварийных режимах работы могут превышать предел текучести при неправильно выбранном материале сильфона.

Ключевые слова: вакуумный сильфон, термомеханические напряжения.

Введение. Как было показано в [1], вакуумные сильфоны в процессе работы подвержены значительным статическим и динамическим нагрузкам [2-5]. О того как материал вакуумного сильфона противостоит этим воздействиям, во многом зависит срок службы и надежность работы выключателя.

Помимо механической деформации, которой подвержен сильфон в процессе движения контактов, на него воздействует также температура, до которой нагрета контактная система выключателя. Согласно [6], эта температура в номинальном режиме достигает $(98\text{--}105)^\circ\text{C}$, что вызывает дополнительные напряжения в материале сильфона по отношению к статическим и динамическим [7] напряжениям. Так как напряжения в материале сильфона не должны превышать предела текучести, то расчеты такого рода являются достаточно актуальными.

Цель данной статьи – рассчитать дополнительные напряжения, возникающие в материале сильфона вакуумных выключателей в зависимости от температуры нагрева контактной системы, хода подвижных контактов и действия атмосферного давления. Можно предположить, что дополнительные напряжения будут возникать в местах крепления сильфона за счет разности коэффициентов линейного расширения материалов контактов и сильфона.

Основная часть. На рис. 1 показана форма вакуумного сильфона и граничные условия, которые обеспечиваются креплением сильфона к элементам контактной системы.

© Е.И. Байда, 2014

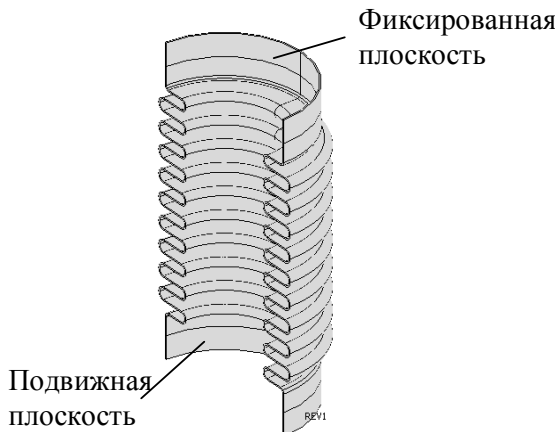


Рис. 1 – Вид половины сильфона

В качестве материалов для сильфонов используются высокопрочные жаростойкие стали с низким содержанием углерода – 08Х18Н10Т, 12Х18Н10Т, 36НХТЮ, 36НХТЮМ, 40КХНМ и им аналогичные AISI 321 (США), DIN EN 1.4521 (Европа), SUS 321 (Япония). Эти материалы характеризуются значительными модулями упругости – ($1.9 \cdot 10^{11}$ – $2.2 \cdot 10^{11}$) N/m² и пределами текучести – ($0.8 \cdot 10^9$ – $2.5 \cdot 10^9$) N/m². Расчет проводился для стали 36НХТЮ с пределом текучести равным $1.0 \cdot 10^9$ Па и модулем упругости $2.0 \cdot 10^{11}$ Па.

Механические напряжения вычислялись при максимального значении хода контактов равном 8,7 мм с учетом атмосферного давления, действующего на сильфон.

Система уравнений при отсутствии внутренних объемных сил в Декартовой системе координат:

$$(\lambda + G) \cdot \frac{\partial e}{\partial x_i} + G \cdot \nabla^2 u_i - \frac{\alpha \cdot E}{1 - 2 \cdot v} \cdot \frac{\partial T}{\partial x_i}, \quad (1)$$

где λ , G - параметры Ламе; e – относительное удлинение по координатам; u - перемещение; α - температурный коэффициент; T – температура нагрева; E , v - модуль упругости и коэффициент Пуассона, $i=1..3$.

Границные условия:

- атмосферное давление, действующее на внешнюю поверхность сильфона;
- фиксация верхней границы;

- фиксированное значение хода нижней границы.

Расчет проводился в системе Comsol Multiphysics - 3.5. Результаты расчета напряжений в гофрированной части сильфона (за исключением плоскостей крепления), приведены на рис.2.

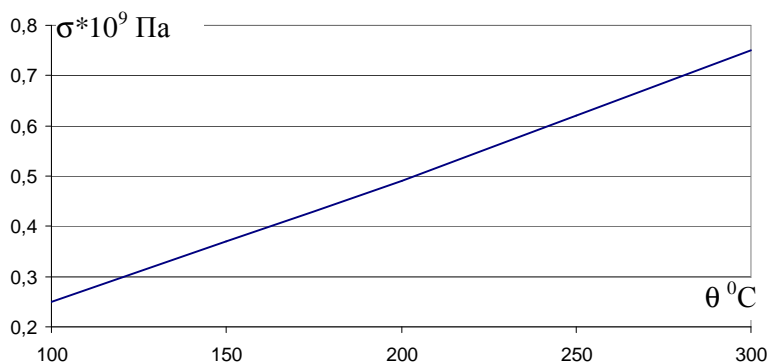


Рис. 2 – Зависимость напряжений в гофрированной части сильфона от температуры

Как видно из рисунка, внутренние напряжения в гофрированной части сильфона пропорциональны температуре и не превышают предел текучести. Особый интерес представляет определение линии локализации максимальных напряжений. На рис.3 показано распределение напряжений при максимальном ходе и температуре нагрева 100 $^{\circ}\text{C}$ и 300 $^{\circ}\text{C}$.

Как следует из рис. 3, наибольшие напряжение сосредоточены по линии сопряжения сильфона контактов. Аналогичное положение линии локализации максимальных напряжений (место крепления сильфона) наблюдается и в других случаях. Причем, напряжения в области крепления определяются только температурой. Необходимо отметить, что температура оказывает значительно меньшее влияние на «свободные» области сильфона.

Как можно заметить (рис. 3), область распределения максимальных напряжений невелика по размерам и в меньшей степени подвержена циклическим нагрузкам, чем остальные области сильфона [7].

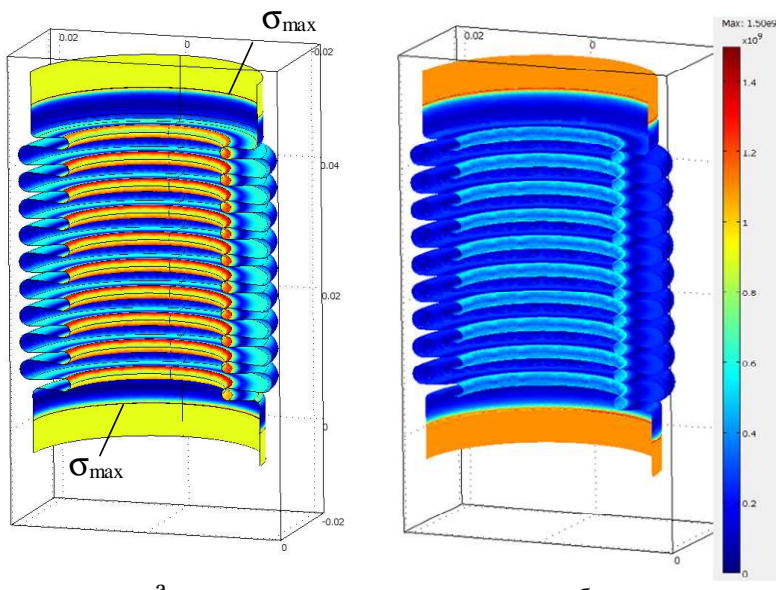


Рисунок 3 – Локализация максимальных напряжений в сильфоне при температуре нагрева: а –100 $^{\circ}\text{C}$; б – 300 $^{\circ}\text{C}$.

Расчеты показывают, что максимальные напряжения в области крепления сильфона также растут пропорционально температуре и в случае нагрева контактов и сильфона до температуры 300 $^{\circ}\text{C}$ (допустимая температура нагрева при протекании аварийного сверхтока), напряжения превышают предел текучести выбранного материала в полтора раза ($\sigma_{\max}=1.5 \times 10^9$ Па).

Выводы. На основании решения уравнений (1) теории упругости [8, 9] рассчитано распределение напряжений в материале вакуумного сильфона. Из результатов решения следует: в номинальном режиме температурные напряжения соизмеримы со статическими и динамическими напряжениями деформации сильфона (рис.1); в аварийных режимах работы (температура нагрева 300 $^{\circ}\text{C}$ и выше) температурные напряжения в местах крепления сильфона могут превышать предел текучести материала.

Список литературы: 1. Байдя Е.И. Расчет статической деформации сильфона вакуумных выключателей средних напряжений // Электротехника и электромеханика – Харьков, 2011. – №6. С. 15-16. 2. Сильфоны. Расчет и проектирование. Под ред. Л.Е. Андреев-

вой. М., "Машиностроение", 1975. – 156 с. **3.** Якушев В.Л. Нелинейные деформации и устойчивость тонких оболочек. М.: Наука, 2004. **4.** Ильичев В.А. Исследование влияния формы сильфонов на долговечность: диссертация кандидата технических наук: 05.02.02 Ленинград, 1981, 188 с. **5.** Полубояринова Й.А. Математические модели, методы и алгоритмы проектирования оболочек сильфонного типа специального назначения: диссертация кандидата технических наук: 05.13.12 Санкт-Петербург, 2003, 166 с. **6.** Ткаченко С.А. Оценка температуры контактной системы вакуумных камер // Ткаченко С.А., Жаворонков М.А / Электротехника – Москва, 2010. – №11. С. – 32-35. **7.** Байды Е.И. Расчет динамической деформации сильфона вакуумных выключателей средних напряжений // Электротехника и электромеханика – Харьков, 2012. – №1. С. 15-18. **8.** Френкель Я.И. Курс теоретической механики. – Ленинград: Типография "Красный печатник", 1939. – 386 с. **9.** Тимошенко С.П., Гудьбер Дж. Теория упругости: Пер. с англ. / Под редакцией Шапиро Г.С. – М.: Наука. Главная редакция физико-математической литературы, 1979. – 560 с.

Bibliography (transliterated): **1.** Bajda, E.I. "Raschet staticheskoj deformacii sil'fona vakuumnyh vykljuchatelej srednih naprijazhenij." *Electrical Engineering & Electromechanics* 6 (2011): 15-16. Print. **2.** Bellows. Calculation and Design. Editor L.E. Andreeva. Moscow, "Machine Building", 1975. 156 p. Print. **3.** Jakushev V.L. *Nelinejnye deformacii i ustojchivost' tonkih obolochek*. Moscow: Nauka, 2004. Print. **4.** Ilijichev V.A. *Issledovanie vlijaniya formy sil'fonov na dolgovechnost'*. Dis. ... kand. tech. nauk. Leningrad, 1981. Print. **5.** Polubojarinova I.A. *Matematicheskie modeli, metody i algoritmy proektirovaniya obolochek sil'fonnogo tipa special'nogo naznachenija: Dis. ... kand. tech. nauk.* St-Petersburg, 2003. Print. **6.** Tkachenko, S.A., Zhavoronkov, M.A. "Ocenka temperatury kontaktnoj sistemy vakuumnih kamer". *Elektrotehnika* 11: 32-35. Print. **7.** Bajda E.I. "Calculation of dynamic deformation of an intermediate voltage vacuum switch bellow". *Electrical Engineering and Electromechanics* 1 (2012): P. 15-18. Print. **8.** Frenkel Ja.I. *Theoretical Mechanics*. Leningrad: Krasny Pechatnik, 1939. Print. **9.** Timoshenko S.P., Goodier J.N. *Theory of Elasticity*. New York: McGraw-Hill, 1970. Print.

Поступила (received) 28.04.2014